

人工神经网络在恶性肿瘤诊断中的应用

李晓薇¹ 刘文凯² 李军会¹

(1 中国农业大学基础学院; 2 中国医学科学院肿瘤医院)

摘要 本研究将人工神经网络方法用于人血清荧光光谱法诊断癌症。采用反向传播神经网络方法, 建立识别人血清荧光光谱的网络模型。参数经过训练, 平均识别率高达 94%。

关键词 人工神经网络; 血清; 荧光光谱; 癌; 肿瘤诊断

中图分类号 R 318

Application of Artificial Neural Networks in Cancer Diagnosis

Li Xiaowei¹ Liu Wenkai² Li Junhui¹

(1 College of Basic Science and Technology, CAU; 2 Tumour Hospital, Chinese Academy of Medical Sciences)

Abstract The serum fluorescence spectrum method of cancer diagnosis is developed by using Artificial Neural Network. The Back-Propagation Network is adopted to set up the network model for serum fluorescence spectrum recognition. After training, the averaged rate of recognition is high to 94%.

Key words artificial neural networks; serum; fluorescence spectrum; cancer; tumour diagnosis

近年来有关癌症的检查与诊治越来越引起重视。目前较先进的诊断方法多为: 微量元素的 比例失调与癌症诊断的关系^[1], 人血清荧光光谱中卟啉代谢与肿瘤诊断的关系, 并根据荧光光谱的特征峰判断人血清是否含有恶性组织^[2, 3]。另外, 利用光学法诊断癌症还有其它方法^[4~ 7]。但光谱方法由于仪器来源, 物理来源和化学来源导致的非线性使得光谱有: 浓度响应函数的 曲线化, 吸收带位置的漂移, 吸收带宽度的改变。这 3 方面的 变化。给分析工作者对血清中癌变组织固有荧光光谱特征峰 的判别造成困难, 使得人血清光谱的人工判断率较低, 一般临 床的判别率为 80%。

有关神经网络的应用在国内外已有诸多报道^[7~ 18]。本研究 提出一种新的人工神经网络方法, 可用于大批量数据的非线性 分析, 并采用反向传播神经网络技术对人血清荧光光谱进行判 别, 以提高癌症诊断的判别率。

图 1 是人工神经网络 (artificial neural networks, ANN) 模 型: 误差反传算法 BP (back propagation) 为 3 层 ANN 系统, 它 包括一定数量结点 (神经元), 图中圆圈表示神经元, 而且上一层的每一个结点都同下层的每一

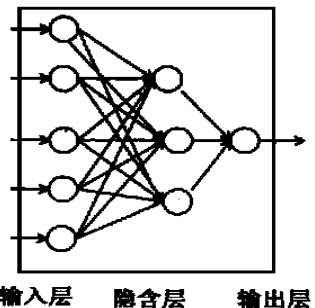


图 1 人工神经网络模型

收稿日期: 2000-09-22

李晓薇, 北京圆明园西路 2 号中国农业大学 (西校区), 100094

个结点连接。同外界的联系通过输入, 输出层的结点进行, 隐含于内部的中间层决定系统的主要计算能力。在 ANN 的每条连接线上是权重因子, 代表系统记忆能力的重要部分, 当网络学习时, 权重的数值可随着正在网络中流通的新信息而改变^[19-20], 一般应用时先用某种类型的一组已知数据输入 ANN 模型, 经过训练后 ANN 就能用学过的已知数据推测出新输入的未知数据。

1 材料与方法

1.1 材料

已知有癌、无癌的人血清荧光光谱值(北方交大和中国医学科学院肿瘤医院提供)。人工神经网络分析模型软件, 本课题组编制。

1.2 方法

将人血清光谱数据转变为通用格式, 便于微机采集。神经网络采集数据时选择包含有健康样品和癌变样品(人血清荧光光谱值)共 42 例, 作为训练集; 另选一批包含有健康样品和癌变样品共 68 例, 作为预测集, 然后用“1”表示健康数据, “0”表示有癌变数据, 输入 ANN, 便于训练模型。

对光谱进行预处理, 以降低噪声、减小分析样品误差。可供选择预处理方法有矢量归一化, 极差归一化, 附加点散射校正, 一阶导数和二阶导数。

提取光谱的主成分, 即将数据降维, 将变量进行转换, 使少数几个变量成为原变量的线性组合, 同时这些变量尽可能多表征原变量的数据结构特征而不丢失信息。本研究将人血清荧光光谱数据的前五维主成分信息作为神经网络的 5 个输入层结点, 其中每个主成分都是所有波长点的线性组合。

算法参数优化: 光谱预处理方法与主成分确定后, 即可对人工神经网络模型进行训练。在训练过程中, 通过不断调整网络各层之间的权重因子来调节输出层的目标输出值, 使含癌变样品的数据逼近于 0, 健康样品的数据逼近于 1, 直到收敛精度满足条件为止。训练结束后, 将 ANN 参数保存在模型中, 用该模型来预测未知人血清荧光光谱数据, 预测结果可作为肿瘤诊断依据。

需要考查训练的参数为学习速率 η 范围 0.1~0.9; 动量系数 α 范围 0.1~0.9; 训练次数 t , 范围 1.0~10⁶ 次。

2 结果与分析

2.1 神经网络拓扑学结构

$$j = (i + 1) / 2 \quad i = 1, 2, 3, \dots$$

(1) 当神经网络输入层结点数为 $i = 1 \sim 4$ 时, 运算时间 $t < 5$ s, 网络输入信息过少, 不具代表性。

(2) 当神经网络输入层结点数为 $i = 6 \sim 10$ 时, 运算时间 $t > 30$ s, 网络输入信息增多, 运算较慢, 无论选择何种变量, 对测试结果影响均不大。经反复优化最优 ANN 输入层结点数 $i = 5$, 隐含层结点数 $j = 3$, 输出层结点数 $k = 1$ 。因此解决本问题的神经网络拓扑学结构为 BPN (5-1-

3), 训练效果最佳。

2.2 光谱预处理方法的选择

对人血清荧光光谱数据进行预处理, 发现选用矢量归一化与极差归一化后, 模型训练时误判率较低, 平均正确识别率达 98% (表 1)。本研究选择矢量归一化作为光谱的预处理方法, 在所用 42 例样品中, 健康血清光谱 16 例, 癌变血清光谱 26 例。

表 1 光谱预处理方法的选择

方法	健康血清样品量				癌变血清样品量			
	误判	不确定	正确	$Q\%$	误判	不确定	正确	$Q\%$
矢量归一化	0	0	16	100	1	0	25	96
极差归一化	0	0	16	100	1	0	25	96
附加点散射校正	11	2	3	19	1	0	25	96
一阶导数	6	3	7	44	0	0	26	100
二阶导数	13	0	3	19	0	0	26	100

人工神经网络模型判别方式: 当训练集样品为健康者, 将误报定为 < 0.5 , 不确定为 $0.4 \sim 0.5$, 正确为 0.5 。当训练集样品中有癌变, 将误报定为 > 0.5 , 不确定为 $0.4 \sim 0.6$, 正确为 0.4 。

2.3 训练集样本平均识别正确率

光谱预处理方法确定后, 开始优化参数结果如下。

2.3.1 学习效率训练

此时其他参数: 训练次数 $t = 10^4$ 次, 动量系数 $a = 0.1$ 。

当学习效率 $\eta = 0.9 \sim 0.8$ 时, 人工神经网络模型发散, 不适宜预测样品。如 $\eta = 0.3 \sim 0.1$ 时, 网络训练太少模型误判率较高, 也不适宜预测样品。

当学习效率 $\eta = 0.7, 0.6, 0.5, 0.4$ 时, 人工神经网络模型收敛, 训练集样品平均识别正确率分别为 85%, 90%, 85%, 80%, 可预测样品。而最佳选择为 $\eta = 0.7$ 和 $\eta = 0.6$ 两项。

由以上训练结果可知当其他参数不改变时, 网络学习效率可使用 $\eta = 0.6 \sim 0.7$ 。

2.3.2 动量系数训练

此时其他参数: 学习效率 $\eta = 0.7 \sim 0.6$, 训练次数 $t = 10^4$ 次。

当动量系数 $a = 0.6$ 时模型发散, 不适宜预测样品。不断调整动量系数 a 使训练集样品平均识别正确率不断上升, 当动量系数 $a = 0.5, 0.4, 0.3, 0.2, 0.1$ 时模型收敛, 训练集样品平均识别正确率为 69%, 78%, 80%, 85%, 88%, 可预测样品。而其中最佳选择 $a = 0.1, 0.2, 0.3$ 。利用上面 2 项结果对其他参数进行进一步训练。

2.3.3 训练次数调试

此时其他参数: 学习效率 $\eta = 0.7 \sim 0.6$, 动量系数 $a = 0.1 \sim 0.3$ 。

将训练次数设定在 $t = 10^4 \sim 5 \times 10^5$ 次时, 人工神经网络模型收敛, 训练集样品平均识别正确率为 90%, 95%, 95%, 95%, 可预测样品, 其中 $t = 3 \times 10^4$ 次时训练效果最佳。

综合以上训练结果可知学习效率 η 、动量系数 a 较为关键, 当其他参数不改变时, 训练次数 $t = 3 \times 10^4$ 次时, 网络运算不受影响。

将上述几项训练样品平均识别正确率较高参数优化预处理, 得到最佳人工神经网络模型反传算法参数如下: 学习效率 $\eta = 0.6$, 训练次数 $t = 5 \times 10^4$ 次, 动量系数 $a = 0.1$ 。然后将上述优化的 ANN 对训练集 41 例样品进行校正, 其平均识别正确率高达 95%, 适合样品检测 (表 2)。

2.4 预测集样本平均识别正确率

本研究采用优化训练过的 ANN 对预测集 68 例样本(其中健康 28 例, 癌变 40 例)进行预测, 即对病人血清荧光光谱值进行的鉴别诊断说明, 本网络模型平均预测正确率高达 94% (表 3), 结果优于人工判别。

神经网络模型判别方式: 当预测集样品为健康者, 将误报定为 < 0.5 , 不确定为 $0.4 \sim 0.5$, 正确为 0.5 。当预测集样品中有癌变, 将误报定为 > 0.5 , 不确定为 $0.4 \sim 0.6$, 正确为 0.4 。

表 2 训练集模型报告

样本类型	数量	误报	不确定	正确
健康	16	0	0	16
乳腺癌	10	1	0	9
肺癌	4	0	0	4
胰腺癌	5	0	0	5
胃癌	2	0	0	2
结肠癌	5	0	0	5

表 3 预测集模型报告

样本类型	数量	误报	不确定	正确
健康	28	0	1	27
乳腺癌	15	0	0	15
肺癌	9	0	0	9
胰腺癌	8	0	0	8
胃癌	3	0	0	3
结肠癌	3	0	0	3
脑癌	2	1	0	1

3 结论

综上所述, 本研究所提供的人工神经网络对图形处理有较强的优越性, 尤其对于批量较大的样品。采用人工神经网络的方法进行总体测定, 采集信息量多, 就人血清荧光光谱样品而言, 除卟啉成分外, 光谱中与肿瘤有关其他信息也被采集, 而且计算方法是全谱测定, 因此具备较强的抗噪声和抗干扰能力, 克服了上述因素的影响。又由于所选样品包括大部分恶性肿瘤的信息如: 肠癌、肺癌、胃癌、胰腺癌、乳腺癌, 因此所建模型不受癌症类型局限, 通用性较强。另外, 本方法分析速度快, 预测癌症准确率较高, 是一种新的临床肿瘤诊断方法。

参 考 文 献

- 1 孙抒, 李龙山, 孙东植, 金昌范 乳腺癌及其癌前病变中细胞凋亡与细胞增殖的原位观察 中华肿瘤杂志, 1999, 21(6): 447~ 449
- 2 孟继武, 西坂刚, 深海隆明 肿瘤发展过程中卟啉代谢的特点及在肿瘤诊断上的意义 科学通报, 1995, 6(12): 11144~ 11147
- 3 连少辉, 杨士珍 原卟啉发光特性与癌发光关系的研究 生物化学杂志, 1996, 4(2): 225~ 228
- 4 Yang Y, et al Excitation spectroscopy reveal changes of proteins and the degree in malignant. Tissue SPIE, 1999, 3597: 511~ 513
- 5 Li X, Wang Q, et al Laser-induced blood serum fluorescence and raman spectroscopy for cancer diagnosis. Proceeding of SPIE, 1999, 3863: 301~ 304
- 6 Alfano R R, et al Optical spectroscopic diagnosis of cancer and normal breast tissue I Opt Soc Am B, 1989, 6(5): 1015~ 1023

- 7 Bim an K P. Rule-based learning for more accurate ECG analysis. *IEEE Pattern And Intell*, 1982, 4: 369~375
- 8 Xuc Q Z, Hu Y H, Tompkins W J. Neural network-based adaptive matched filtering for QRS detection. *IEEE Trans Biomed Eng*, 1992, 39: 317~ 329
- 9 Cheung J Y, Hull S J. Detection of abnormal electrocardiograms using a neural network approach. In: *Proc Ann Int Conf IEEE Eng Med Biol Soc*, 1989, 2015, 2016
- 10 王继成, 吕维雪. 一个基于符号神经网络的心电图分类系统. *中国生物医学工程学报*, 1996, 9: 202~297
- 11 蔡煜东, 宫家文, 甘骏人. 神经网络方法在乳腺癌死亡率研究中的应用. *中国生物医学工程学报*, 1994, 12: 364~ 366
- 12 刁晓娣, 江志斌, 刘瑾. 根据孕妇参数预测胎儿体重的神经网络方法. *中国生物医学工程学报*, 1999, 6: 155~ 158
- 13 Ercal F. 基于肿瘤彩图像的恶性黑瘤的神经网络诊断法. *国外医学生物医学工程分册*, 1995, 18(5): 302 (摘自 *IEEE Trabs BME*, 1994, 41(9): 837)
- 14 Hassoum M H. 肌电描记忆的重复矢量的神经网络的提取法: II. 性能分析. *国外医学生物医学工程分册*, 1995, 18(5): 302 (摘自 *IEEE Trans BME*, 1994, 41(11): 1053)
- 15 Park B, Chen Y R, Whittaker A D, et al. Neural network modeling for beef sensory evaluation. *ASA E*, 1994, 37(5): 1547~ 1553
- 16 李志良, 曾鸽鸣, 胡芳. 神经网络在肝硬化病因鉴别诊断中的应用. *中国生物医学工程学报*, 1997, 3(1): 92, 93
- 17 吉海彦, 严衍录. 用神经网络处理谷物成分分析. *高等学校化学学报*, 1993, 5: 38~ 42
- 18 任劲松, 任超世. 神经网络在生物医学技术中的应用. *国外医学生物医学工程分册*, 1996, 19(10): 40~ 45
- 19 黄德双. *神经网络模式识别系统理论*. 北京: 电子工业出版社, 1996, 4~ 68
- 20 袁曾任. *神经网络及其应用*. 北京: 清华大学出版社, 1999, 66~ 131